

# Turbo Compressed Sensing with Partial DFT Sensing Matrix 算法复现与结果分析

Author: Junchen Liu (MooreMorriso) [morriso@stu.zzu.edu.cn](mailto:morriso@stu.zzu.edu.cn)

## 1 摘要

本文主要研究了 Turbo Compressed Sensing with Partial DFT Sensing Matrix 中提出的 Turbo 压缩感知算法，并对其进行了 MATLAB 下的复现和分析，通过仿真验证了其在部分离散傅里叶变换(Partial DFT)感知矩阵下的性能，并与高斯近似消息传递(GAMP)算法进行了对比。

## 2 算法解释

### 2.1 算法概述

压缩感知（Compressed Sensing）是一种在欠采样条件下实现稀疏信号恢复的理论与方法。传统压缩感知算法如 OMP、LASSO 等往往在大规模场景中计算复杂度较高，因此更高效的重构算法被广泛研究。

论文提出了一种基于部分 DFT 感知矩阵的 Turbo 压缩算法，算法主要通过两个模块（模块 A 和模块 B）多次迭代，从而实现信号的恢复。其中，模块 A 主要负责线性最小均方误差（LMMSE）的处理与部分 DFT 感知矩阵的处理，模块 B 主要疏松信号的混合处理。

### 2.2 系统模型

我们考虑以下模型线性系统，其中  $\mathbf{y}$  是接收到的测量向量， $\mathbf{x} \in \mathbb{C}^{N \times 1}$  为需要恢复的稀疏信号向量  $\mathbf{F}_{partial}$  是需要恢复的稀疏信号向量， $\mathbf{n}$  是加性高斯白噪声向量。

$$\mathbf{y} = \mathbf{F}_{partial} \mathbf{x} + \mathbf{n} \quad (1)$$

$\mathbf{F} \in \mathbb{C}^{N \times N}$  为完整 DFT 矩阵，其第(m,n)个元素  $\frac{1}{\sqrt{N}} e^{-2\pi j(m-1)(n-1)/N}$ ，需要恢复的稀疏信号向量  $\mathbf{F}_{partial}$ ，随机选择 M 行构成的，对于随机选择的 M 行，构成选择矩阵  $\mathbf{S}$  是一个  $M \times N$  的矩阵，由此系统模型可表示为：

$$\mathbf{y} = \mathbf{S}\mathbf{z} + \mathbf{n} \quad (2)$$

稀疏信号  $\mathbf{x}$  假设为独立同分布，且服从 Bernoulli-Gaussian 分布，对于每个元素  $x_j$  有，且其方差归一化为 1：

$$x_j \sim \begin{cases} 0 & P = 1 - \lambda \\ CN(0, 1/\lambda) & P = \lambda \end{cases} \quad (3)$$

### 2.3 算法结构

论文提出了一种基于部分 DFT 感知矩阵的 Turbo 压缩感知算法，算法主要通过两个模块（模块 A 和模块 B）多次迭代，从而实现信号的恢复，如图 2.1 所示。其中，模块 A 主要负责线性最小均方误差（LMMSE）的处理与部分 DFT 感知矩阵的处理，模块 B 主要稀疏信号的混合处理。

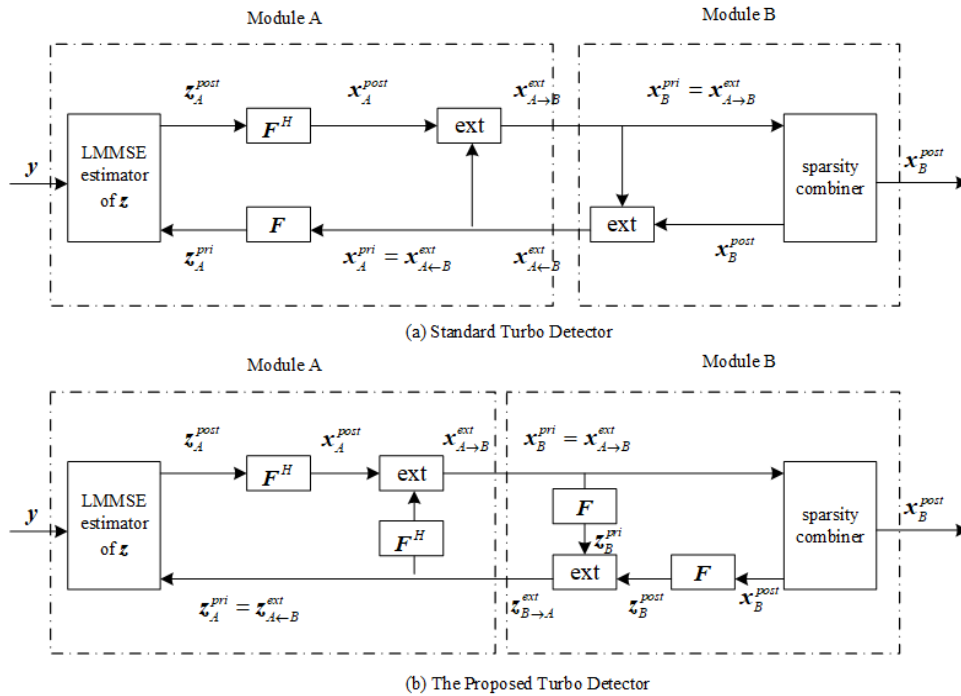


图 2.1 标准 Turbo 算法和论文提出的 Turbo 算法图

## 2.4 模块 A: LMMSE 估计器

随着输入信号和噪声的变化，MMSE 算法需要不断进行矩阵求逆运算（包含两个矩阵求逆），计算量较大，对 MMSE 算法做一次平滑得到 LMMSE，在 Turbo 压缩感知算法中，模块 A 的 LMMSE 估计器被用来在给定接收信号  $\mathbf{y}$  和关于  $\mathbf{z}$  的先验信息的情况下，提供对  $\mathbf{z}$  的最佳线性估计。

$\mathbf{z}$  的后验均值和协方差表示为：

$$\begin{aligned}\mathbf{z}_A^{post} &= \mathbf{z}_A^{pri} + \left( v_A^{pri} / (v_A^{pri} + \sigma^2) \right) \cdot \mathbf{F}_{partial}^H \cdot (\mathbf{y} - \mathbf{F}_{partial} \cdot \mathbf{z}_A^{pri}) \\ \mathbf{V}_A^{post} &= v_A^{pri} \cdot \mathbf{I}_N - \left( v_A^{pri^2} / (v_A^{pri} + \sigma^2) \right) \cdot \mathbf{F}^H \cdot \mathbf{F}\end{aligned}\quad (4)$$

$\mathbf{x}$  的外在均值和方差表示为：

$$\begin{aligned}\mathbf{x}_A^{ext} &= v_A^{ext} \cdot (\mathbf{x}_A^{post} / v_A^{post} - \mathbf{x}_A^{pri} / v_A^{pri}) \\ v_A^{ext} &= (1 / v_A^{post} - 1 / v_A^{pri})^{-1}\end{aligned}\quad (5)$$

## 2.5 模块 B: 疏松信号组合

疏松信号为 0 时， $x_{pri}$  服从均值为 0、方差为  $v_{pri}$  的高斯分布，所以似然值为：

$$likelihood_0 = \frac{1}{\pi v_{pri}} \exp\left(-\frac{|x_{pri}|^2}{v_{pri}}\right)\quad (6)$$

疏松信号非 0 时， $x_{pri}$  服从均值为  $\sigma_x^2$ 、方差为  $v_{pri} + \sigma_x^2$  的高斯分布，似然值为：

$$likelihood_1 = \frac{1}{\pi(v_{pri} + \sigma_x^2)} \exp\left(-\frac{|x_{pri}|^2}{v_{pri} + \sigma_x^2}\right)\quad (7)$$

后验激活概率  $Pr$  为：

$$Pr = \frac{1}{1 + \frac{1-\lambda}{\lambda} \cdot \frac{likelihood_0}{likelihood_1}}\quad (8)$$

后验均值为：

$$x_{post_B} = Pr \cdot \frac{\sigma_x^2}{\sigma_x^2 + v_{pri}} \cdot x_{pri}\quad (9)$$

后验方差:

$$v_{j,B}^{post} = Pr \cdot \left( \frac{\sigma_X^2 \cdot v_{pri_B}}{\sigma_X^2 + v_{pri_B}} \right) + Pr \cdot (1 - Pr) \cdot \left| \frac{\sigma_X^2}{\sigma_X^2 + v_{pri_B}} \cdot x_{pri_B} \right|^2$$

$$v_B^{post} = \left( \frac{1}{N} \right) \cdot \sum_{j=1}^N v_{j,B}^{post} \quad (10)$$

基于这个高斯假设, 模块 B 可以计算出  $\mathbf{z}$  的外在估计, 并将其反馈给模块 A, 用于下一次迭代.

### 3 仿真验证

#### 3.1 实验设置

为复现原论文结果, 此处将参数设置为: 信号长度  $N=8192$ , 测量长度  $M=5374$ , 非零概率  $\lambda=0.4$ , 信噪比  $SNR=50$  dB。在 MATLAB R2021a 下进行仿真实验。

#### 3.2 实验结果

基于参考论文的设定, 我们得到了 Proposed Turbo Algorithm 仿真结果, 参考其他文献, 我们尝试得到部分 DFT 结合 AMP 的结果。

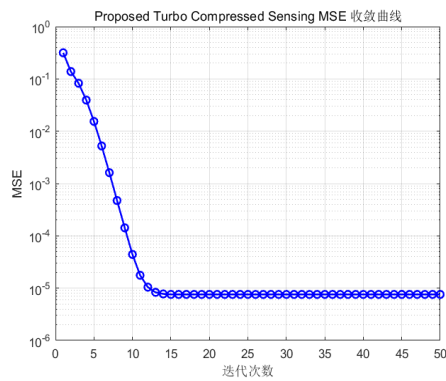


图 3.1 论文提出的 Turbo 算法仿真

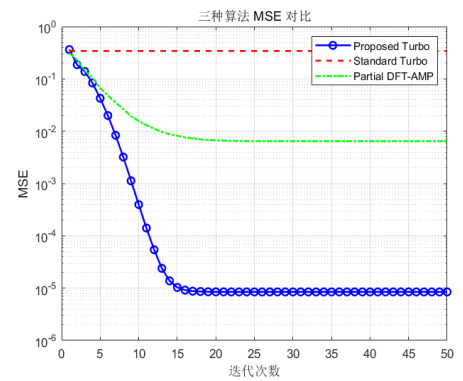


图 3.2 与部分 DFT-AMP 对比图

在仿真设定的参数条件下, Proposed Turbo 算法在 10~20 次迭代后迅速收敛, MSE 下降明显, Partial DFT-AMP 收敛速度与 Proposed Turbo 相近, 但 MSE

下降效果较差，标准 Turbo 按照论文假设条件，在 1 次迭代后保持不变。

### 3.3 讨论

3.2 节中，我们得到了在“信号长度  $N=8192$ ，测量长度  $M=5374$ ，非零概率  $\lambda=0.4$ ，信噪比  $\text{SNR}=50\text{ dB}$ ”下的仿真结果，在后续测试中，通过改变  $M/N$  的值发现，Proposed Turbo Algorithm 的收敛情况仅于该比值有关，当  $M/N$  小于 0.54 时收敛情况急剧变差， $M/N$  值不断增加，Partial DFT-AMP 与 Proposed Turbo Algorithm 的收敛时 MSE 趋同，且收敛迭代次数趋同，在高测量率下，两类算法本质上都接近贝叶斯最优推断，差异主要体现在结构设计与计算路径。